DOI: 10.14529/chem250312

БИЯДЕРНЫЕ АРИЛЬНЫЕ СОЕДИНЕНИЯ СУРЬМЫ $[Ph_3SbOC(O)(CF_2)_3CF_3]_2O$ И $[Ph_3SbOC(O)(CF_2)_5CF_3]_2O$

E.B. Артемьева[™], С.А. Гремицких, О.К. Шарутина, В.В. Шарутин Южно-Уральский государственный университет, Челябинск, Россия [™] artemevaev @susu.ru

Аннотация. Взаимодействием эквимолярных количеств трифенилсурьмы, перфторпентановой и перфторгептановой кислот с трет-бутилгидропероксидом в эфире приводило к образованию соединений [Ph₃SbOC(O)(CF₂)₃CF₃]₂O (1) и [Ph₃SbOC(O)(CF₂)₅CF₃]₂O (2) с выходами 69 % и 98% соответственно, строение которых доказано методом рентгеноструктурного анализа. РСА проводили на автоматическом четырехкружном дифрактометре D8 Quest Bruker (Мо K_a -излучение, $\lambda = 0.71073$ Å, графитовый монохроматор) при 293 К. Кристаллы (1) $C_{92}H_{60}F_{36}O_{10}Sb_4$, M 2496,40; сингония триклинная, группа симметрии P-1; параметры ячейки: a = 10,924(10), b = 19,090(15), $c = 23,22(2) \text{ Å}; \ \alpha = 93,03(3)^{\circ}, \ \beta = 90,44(4)^{\circ}, \ \gamma = 90,42(4)^{\circ}; \ V = 4834(7) \text{ Å}^3; \ Z = 2; \ \rho_{\text{выч}} = 1,715 \text{ г/см}^3;$ 20 5,594-54,932 град.; всего отражений 119542; независимых отражений 21610; число уточняемых параметров 1256; $R_{\text{int}} = 0.0560$; GOOF 1,094; $R_1 = 0.0586$, $wR_2 = 0.1410$; остаточная электронная плотность (max/min); 1,32/-0,82 e/Å³], (2) $C_{50}H_{30}F_{26}O_5Sb_2$ M 1448,24; сингония триклинная, группа симметрии P-1; параметры ячейки: $a=10,667(4),\ b=16,972(9),\ c=17,450(9)$ Å; $\alpha=62,93(2),$ β = 77,977(17), γ = 83,18(2) град., V = 2750(2) \mathring{A}^3 , Z = 2; $\rho_{\text{выч}}$ = 1,749 г/см 3 ; 2 θ 5,394–54,294 град.; всего отражений 42645; независимых отражений 11288; число уточняемых параметров 737; $R_{\text{int}} = 0.0590$; GOOF 1,645; $R_1 = 0,1283$, $wR_2 = 0,3459$; остаточная электронная плотность (max/min); 2,47/–2,50 e/Å³]. Атомы сурьмы в 1, 2 имеют искаженную тригонально-бипирамидальную координацию с мостиковым атомом кислорода и монодентатным карбоксильным лигандом в аксиальных положениях.

Ключевые слова: строение, биядерный, фенил, карбоксил, сурьма, рентгеноструктурный анализ

Для цитирования: Биядерные арильные соединения сурьмы [Ph₃SbOC(O)(CF₂)₃CF₃]₂O и [Ph₃SbOC(O)(CF₂)₅CF₃]₂O / Е.В. Артемьева, С.А. Гремицких, О.К. Шарутина, В.В. Шарутин // Вестник ЮУрГУ. Серия «Химия». 2025. Т. 17, № 3. С. 122–128. DOI: 10.14529/chem250312

Original article

DOI: 10.14529/chem250312

NEW BINUCLEAR ARYL COMPOUNDS OF ANTIMONY: $[Ph_3SbOC(O)(CF_2)_3CF_3]_2O$ AND $[Ph_3SbOC(O)(CF_2)_5CF_3]_2O$

E.V. Artem'eva[™], S.A. Gremitskikh, O.K. Sharutina, V.V. Sharutin South Ural State University, Chelyabinsk, Russia [™] artemevaev @susu.ru

Abstract. The interaction of equimolar amounts of triphenylantimony, perfluoropentanoic and perfluoroheptanoic acids, and *tert*-butyl hydroperoxide in ether led to formation of compounds [Ph₃SbOC(O)(CF₂)₃CF₃]₂O (1) and [Ph₃SbOC(O)(CF₂)₅CF₃]₂O (2), yielding 69% and 98%, respectively, the structures were confirmed by X-ray diffraction analysis. The X-ray diffraction analysis was performed on a D8 Quest Bruker automatic four-circle diffractometer (Mo Kα radiation, $\lambda = 0.71073$ Å, graphite monochromator) at 293 K. Crystals (1) C₉₂H₆₀F₃₆O₁₀Sb₄, M = 2496.40; triclinic syngony, symmetry group P-1; cell parameters: a = 10.924(10), b = 19.090(15), c = 23.22(2) Å; $\alpha = 93.03(3)^\circ$, $\beta = 90.44(4)^\circ$, $\gamma = 90.42(4)^\circ$; V = 4834(7) Å³; Z = 2; $\rho_{calc} = 1.715$ g/cm³; $2\theta 5.594$ –54.932 deg.; total reflections 119542; independent reflections 21610; number of refined parameters 1256; $R_{int} = 0.0560$; GOOF = 1.094; $R_1 = 0.0586$, $wR_2 = 0.1410$; residual electron density (max/min); 1.32/–0.82 e/Å³], (2) C₅₀H₃₀F₂₆O₅Sb₂,

[©] Артемьева Е.В., Гремицких С.А., Шарутина О.К., Шарутин В.В., 2025.

M=1448.24; triclinic syngony, symmetry group P-1; cell parameters: a=10.667(4), b=16.972(9), c=17.450(9) Å; $\alpha=62.93(2)$, $\beta=77.977(17)$, $\gamma=83.18(2)$ deg, V=2750(2) Å³, Z=2; $\rho_{\text{calc}}=1.749$ g/cm³; 205.394-54.294 deg; total reflections 42645; independent reflections 11288; number of refined parameters 737; $R_{\text{int}}=0.0590$; GOOF=1.645; $R_{\text{int}}=0.1283$, $WR_{\text{int}}=0.3459$; residual electron density (max/min); 2.47/-2.50 e/Å³]. The antimony atoms in **1** and **2** exhibit a distorted trigonal-bipyramidal coordination geometry with a bridging oxygen atom and a monodentate carboxylate ligand in the axial positions.

Keywords: structure, binuclear, phenyl, carboxyl, antimony, X-ray structural analysis

For citation: Artem'eva E.V., Gremitskikh S.A., Sharutina O.K., Sharutin V.V. New binuclear aryl compounds of antimony: [Ph₃SbOC(O)(CF₂)₃CF₃]₂O and [Ph₃SbOC(O)(CF₂)₅CF₃]₂O. *Bulletin of the South Ural State University. Ser. Chem.* 2025;17(3): 122–128 (In Russ.) DOI: 10.14529/chem250312

Введение

К настоящему времени методом рентгеноструктурного анализа установлено строение широкого ряда комплексов сурьмы общей формулы (Ar₃SbX)₂O (X = Hlg, NO₃, OC(O)R, OR, OSO₂R и другие электроотрицательные группы), атомы сурьмы в которых имеют искаженную тригонально-бипирамидальную координацию с мостиковым атомом кислорода и монодентатным лигандом X в аксиальных положениях. а в экваториальной плоскости располагаются арильные заместители [1-23]. Некоторые молекулы $(Ar_3SbX)_2O$ являются центросимметричными (центр симметрии - мостиковый атом кислорода), в других - два фрагмента Ar₃SbX несколько отличаются друг от друга. Искажение тригонально-бипирамидальной конфигурации молекул проявляется в отклонении валентных углов от теоретических значений и выходе атомов сурьмы из экваториальной плоскости к мостиковому атому кислорода. Расстояния Sb-X в µоксопроизводных (Ar₃SbX)₂O значительно меньше аналогичных связей в соединениях общей формулы Ar_4SbX и немного больше, чем в соединениях Ar_3SbX_2 [24]. Длины связей между атомами сурьмы и мостиковым атомом кислорода Sb-O_{мост} меньше суммы ковалентных радиусов атомов сурьмы и кислорода (2,05 Å [25]). Основное различие в геометрии молекул этих соединений заключается в строении фрагмента Sb-O-Sb. В большинстве случаев фрагменты имеют угловую форму и лишь иногда – линейную. Величина угла SbOSb, который изменяется от 130 до 180°, и причины, вызывающие его изменение, являются предметом дискуссии в работах последних лет. В настоящей работе описано получение мостиковых биядерных молекул фторированными карбоксилатными лигандами $[Ph_3SbOC(O)(CF_2)_3CF_3]_2O$ $[Ph_3SbOC(O)(CF_2)_5CF_3]_2O$ (2) и проанализированы их основные геометрические параметры.

Экспериментальная часть

В работе использовали органические соединения производства фирмы Alfa Aesar, соединения **1**, **2** получали по реакции окислительного присоединения, описанной в [7].

µ-Оксо-бис[(перфторпентаноато)трифенилсурьма] (1). К смеси 0,100 г (0,28 ммоль) трифенилсурьмы и 0,076 г (0,28 ммоль) перфторпентановой кислоты в 20 мл диэтилового эфира прибавляли 0,036 г 70%-ного водного раствора (0,28 моль) *трет*-бутилгидропероксида. Выдерживали смесь в течение недели при комнатной температуре. Получили желто-зеленые хлопья, которые перекристаллизовали из смеси октан—бензол (1:3 объем.). Получили 0,242 г (69%) кристаллов μ -оксо-бис[(перфторпентаноато)трифенилсурьмы] (1) с $T_{\text{пл}} = 89$ °C. ИК-спектр $(v, \text{ см}^{-1})$: 3468, 3447, 3402, 3370, 3337, 3277, 3246, 3215, 3198, 3150, 3059, 2992, 2957, 2930, 2857, 2752, 2702 (С–Н), <math>1811, 1710 (С=O), 1375, 1331, 1310, 1283, 1234, 1207, 1165, 1134, 1072, 1055, 1034, 1020 (С–F), <math>786 (Sb–O–Sb), 459 (С–Sb). Найдено, %: C 44,18, H 2,49. Для $C_{92}H_{60}F_{36}O_{10}Sb_4$ вычислено, %: C 44,22, H 2,40.

µ-Оксо-бис[(перфторгентаноато)трифенилсурьма] (2). К смеси 0,100 г (0,28 ммоль) трифенилсурьмы и 0,105 г (0,28 моль) перфторгентановой кислоты в 20 мл диэтилового эфира прибавили 0,032 г 30%-ного водного раствора (0,28 ммоль) пероксида водорода. Выдерживали смесь в течение недели при 20 °C. Удаляли растворитель, остаток перекристаллизовали из смеси ацетонитрил—изопропиловый спирт. Получили 0,157 г (98%) кристаллов *µ-оксобис*[(перфторгентаноато)трифенилсурьмы] (2) с T_{nn} = 89 °C. ИК-спектр (v, см⁻¹): 3480, 3460, 3437, 3400, 3393, 3300, 3267, 3229, 3207, 3196, 3176, 3152, 3082, 3063, 2994, 2957, 2934, 2876, 2859 (С–Н), 1802, 1710 (С=О), 1379, 1348, 1308, 1240, 1200, 1150, 1124, 1065, 1047, 1032, 1022 (С–F), 786 (Sb–O–Sb), 457 (С–Sb). Найдено, %: С 41,12, Н 2,13. Для $C_{50}H_{30}F_{26}O_{5}Sb_{2}$ вычислено, %: С 41,43, Н 2,07.

РСА кристаллов 1,2 проведен на дифрактометре D8 Quest фирмы Bruker (Мо*К*α-излучение, λ = 0,71073 Å, графитовый монохроматор) при 296(2) К. Сбор, редактирование данных и уточнение параметров элементарной ячейки, а также учет поглощения проведены по программам SMART и SAINT-*Plus* [26]. Все расчеты по определению и уточнению структуры выполнены по программам SHELXL/PC [27] и OLEX2 [28]. Структуры определены прямым методом и уточнены методом наименьших квадратов в анизотропном приближении для неводородных атомов. Основные кристаллографические данные и результаты уточнения структур 1,2 приведены в табл. 1, основные длины связей и валентные углы − в табл. 2. Полные таблицы координат атомов, длин связей и валентных углов депонированы в Кембриджском банке структурных данных (№ 2119784 (1), № 2121815 (2); deposit@ccdc.cam.ac.uk; http://www.ccdc.cam.ac.uk). Основные кристаллографические данные и результаты уточнения структур 1, 2 приведены в табл. 1, длины связей и валентные углы − в табл. 2.

Таблица 1 Кристаллографические данные, параметры эксперимента и уточнения структур 1,2

Параметр	1	2	
Формула	$C_{92}H_{60}F_{36}O_{10}Sb_4$	$C_{50}H_{30}F_{26}O_{5}Sb_{2}$	
M	2496,40	1448,24	
Сингония	Триклинная	Триклинная	
Пр. группа	P–1	P-1	
a, Å	10,924(10)	10,667(4)	
b, Å	19,090(15)	16,972(9)	
c, Å	23,22(2)	17,450(9)	
α, град.	93,03(3)	62,93(2)	
β, град.	90,44(4)	77,977(17)	
ү, град.	90,42(4)	83,18(2)	
<i>V</i> , Å ³	4834(7)	2750(2)	
Z	2	2	
$ ho_{ exttt{выч}},$ г/см 3	1,715	1,749	
μ , mm ⁻¹	1,231	1,115	
F(000)	2440,0	1412,0	
Размер кристалла, мм	0,48×0,32×0,16	0,50×0,48×0,27	
Область сбора данных по 20, град.	5,594-54,932	5,394–54,294	
Интервалы индексов отражений	$-14 \le h \le 14, -24 \le k \le 24,$ $-29 \le l \le 29$	$-13 \le h \le 13, -21 \le k \le 21,$ $-22 \le l \le 22$	
Измерено отражений	119542	42645	
Независимых отражений	21610	11288	
Переменных уточнения	1256	737	
GOOF	1,094	1,645	
R -факторы по $F^2 > 2\sigma(F^2)$	$R_1 = 0.0586, wR_2 = 0.1410$	$R_1 = 0.1283, wR_2 = 0.3459$	
<i>R</i> -факторы по всем отражениям	$R_1 = 0.0924, wR_2 = 0.1668$	$R_1 = 0,2058, wR_2 = 0,4117$	
Остаточная электронная плотность $(\min/\max), e/\text{Å}^3$	1,32/-0,82	2,47/–2,50	

Длины связей и валентные углы в структурах 1,2

Связь	d, Å	Угол	ω, град.		
1					
Sb2-O4	2,196(5)	O1-Sb2-O4	176,3(2)		
Sb2-O4	2,196(5)	C51–Sb2–C31	115,6(3)		
Sb2-O1	1,932(5)	C41-Sb2-C51	113,8(3)		
Sb2-C51	2,093(8)	C41-Sb2-C31	129,3(3)		
Sb2-C41	2,082(7)	O1–Sb1–O2	179,8(2)		
Sb2-C31	2,102(7)	C1-Sb1-C11	125,2(3)		
Sb1-O1	1,938(5)	C21-Sb1-C11	113,1(2)		
Sb1-O2	2,207(4)	C21–Sb1–C1	119,9(3)		

Окончание табл. 2

Связь	d, Å	Угол	ω, град.
Sb1-C11	2,104(6)	O6-Sb3-O7	179,9(2)
Sb1-C1	2,104(7)	C61-Sb3-C81	125,5(3)
Sb1-C21	2,079(4)	C71-Sb3-C81	113,1(2)
Sb3-O7	2,227(5)	C71–Sb3–C61	119,6(3)
Sb3-O6	1,952(4)	O6-Sb4-O9	176,5(2)
Sb3-C81	2,102(6)	C101-Sb4-C91	129,1(3)
Sb3-C61	2,099(7)	C101-Sb4-C111	113,7(3)
Sb3-C71	2,043(4)	C111-Sb4-C911	115,8(3)
Sb4-O6	1,950(4)	C126-O4-Sb2	117,7(5)
Sb4-O9	2,213(5)	Sb2-O1-Sb1	145,1(3)
Sb4-C91	2,095(7)	C21–O2–Sb1	121,5(5)
Sb4-C101	2,071(7)	Sb4-O6-Sb3	145,6(3)
Sb4-C111	2,085(7)	C131-O7-Sb3	122,0(5)
O4-C126	1,298(10)	C136-O9-Sb4	118,6(5)
O7-C131	1,249(9)	C82-C81-Sb3	119,1(5)
O9-C136	1,292(10)	C106-C101-Sb4	119,2(6)
		2	
Sb1-O1	1,951(10)	O1-Sb1-C21	97,6(4)
Sb1-C21	2,083(6)	O1-Sb1-C11	90,1(5)
Sb1-C11	2,121(11)	O1–Sb1–O2	173,7(4)
Sb1–C1	2,110(12)	C21-Sb1-C11	119,6(4)
Sb1-O2	2,239(11)	C21–Sb1–C1	119,1(4)
Sb2-O1	1,956(9)	C1-Sb1-C11	120,4(4)
Sb2-C41	2,122(13)	O1-Sb2-O4	177,3(4)
Sb2-C51	2,119(11)	C51-Sb2-C41	126,3(5)
Sb2-C31	2,124(12)	C51-Sb2-C31	118,0(5)
Sb2-O4	2,241(12)	Sb1-O1-Sb2	146,8(5)

Обсуждение результатов

Одними из наиболее изученных производных пятивалентной сурьмы являются биядерные соединения [Ar₃SbOC(O)R]₂O [1-23] (получающиеся преимущественно по реакции окислительного присоединения), основное различие геометрии молекул которых заключается в строении фрагмента Sb-O-Sb. В большинстве случаев фрагменты имеют угловую форму и лишь иногда линейную. Также известны кристаллы, в ячейках которых одновременно присутствуют молекулы $(Ar_3SbX)_2O$ $(Ar = Ph, p-Tol; X = CH_2Cl, CH_2Br)$ с угловым и линейным центральными фрагментами [23]. Факторы, влияющие на величину угла при мостиковом атоме кислорода, не выяснены, и нельзя спрогнозировать, линейную или угловую форму будет иметь фрагмент Sb-O-Sb той или другой молекулы, однако исследование структур данного типа может позволить определить какие-либо закономерности в производных указанного типа. Более того, реакции окислительного присоединения не всегда протекают в сторону образования производных (Ar₃SbX)₂O и Ar₃SbX₂ [29-32]. Особенно это касается карбоксилатных производных, в которых остатки карбоновой кислоты Х содержат в своем составе атомы фтора [33], поэтому в настоящей работе синтезированы и кристаллографически охарактеризованы два представителя мостиковых биядерных молекул с $[Ph_3SbOC(O)(CF_2)_3CF_3]_2O$ фторированными карбоксилатными лигандами $[Ph_3SbOC(O)(CF_2)_5CF_3]_2O(2)$ и проанализированы их основные геометрические параметры.

Найдено, что взаимодействие эквимолярных количеств трифенилсурьмы, перфторпентановой и перфторгептановой кислот в присутствии *тем*-бутилгидропероксида в эфире приводило к образованию соединений **1** и **2** с выходами 69 % и 98 % соответственно.

$$2\text{Ph}_3\text{Sb} + 2\text{HOC}(O)(\text{CF}_2)_3\text{CF}_3 + 2t\text{-BuOOH} \rightarrow [\text{Ph}_3\text{SbOC}(O)(\text{CF}_2)_3\text{CF}_3]_2\text{O} + 2\text{ H}_2\text{O} + 2\text{ }t\text{-BuOH}$$
(1)

$$2\text{Ph}_{3}\text{Sb} + 2\text{HOC}(\text{O})(\text{CF}_{2})_{5}\text{CF}_{3} + 2t\text{-BuOOH} \rightarrow [\text{Ph}_{3}\text{SbOC}(\text{O})(\text{CF}_{2})_{5}\text{CF}_{3}]_{2}\text{O} + 2\text{ H}_{2}\text{O} + 2\text{ }t\text{-BuOH}$$

$$(2)$$

Из данных РСА следует, что атомы сурьмы в производных **1**, **2** имеют искаженную тригонально-бипирамидальную координацию с мостиковым атомом кислорода и монодентатным карбоксильным лигандом в аксиальных положениях (рис. 1, 2).

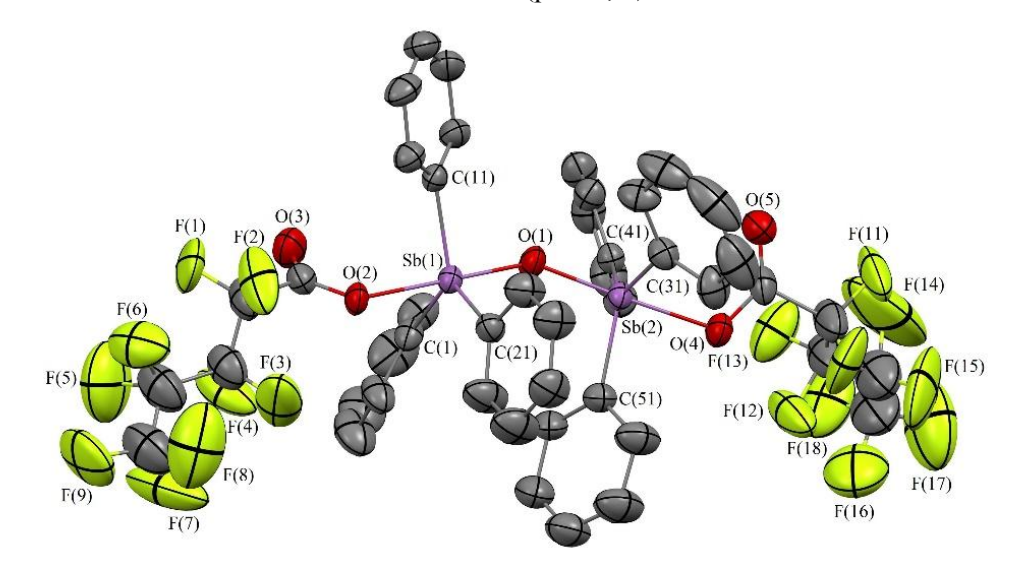


Рис. 1. Общий вид комплекса 1

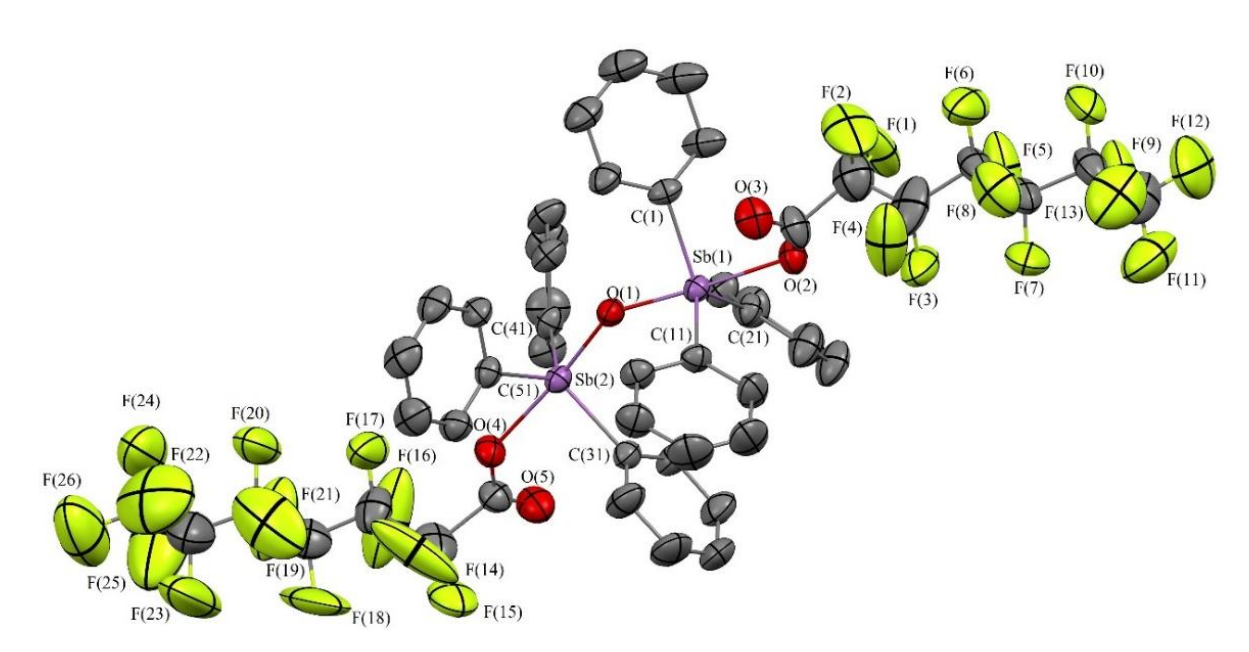


Рис. 2. Общий вид комплекса 2

В экваториальной плоскости располагаются фенильные заместители. Такой координационный полиэдр для атома пятивалентной сурьмы наиболее распространен и реализуется в большом числе соединений с биядерными молекулами, содержащими мостик SbOSb. Кристаллы комплексов 1 состоят из двух типов кристаллографически независимых угловых биядерных молекул SbOSb 145,1(3)° и 145,6(3)°]. В молекулах 2 аналогичный угол составляет 146,8(5)°. Длины связей Sb— $C_{_{3KB}}$ в соединениях 1 и 2 равны 2,043(4)—2,104(7) Å и 2,083(6)—2,122(13) Å соответственно, что близко к наблюдаемым в подобных соединениях (2,086—2,149 Å [24]), а расстояния Sb— $O_{_{\text{терм}}}$ [2,207(4)—2,227(5) Å и 2,239(11), 2,241(12) Å] значительно больше расстояний Sb— $O_{_{\text{мост}}}$ [1,932(4)—1,952(4) Å и 1,951(10), 1,956(9) Å], которые сравнимы с аналогичными связями в ряду остальных биядерных соединений сурьмы (1,919—1,986 Å [24]).

Как и в большинстве органических соединений сурьмы с карбоксилатными лигандами, в молекулах 1 и 2 наблюдаются внутримолекулярные контакты между атомами сурьмы и атомами кислорода карбонильных групп (расстояния Sb···O=C составляют 3,262–3,333 Å и 3,228 Å соответственно), что меньше суммы ван-дер-ваальсовых радиусов атомов-партнеров (3,7 Å [34]), причем со стороны внутримолекулярного контакта в $\mathbf{1}$ экваториальный угол CSbC имеет максимальное значение [125,2(3)°–129,3(3)°]. В $\mathbf{2}$ подобные углы имеют значения 119,11(3)° и 126,32(3)°.

Данные ИК-спектроскопии подтверждают данные РСА. Так, в ИК-спектрах **1** и **2** наблюдаются полосы при 459 и 457 см $^{-1}$, обусловленные колебаниями связи Sb–C, и при 786 см $^{-1}$, характерные для колебаний Sb–O $_{\mu}$. Кроме того, спектры содержат характеристические полосы при 1020, 1022 см $^{-1}$ (C–F) и 1710 см $^{-1}$ (C=O).

Выводы

Взаимодействием эквимолярных количеств трифенилсурьмы, карбоновой кислоты и *трет* бутилгидропероксида в эфире получены биядерные соединения сурьмы мостикового типа $[Ph_3SbOC(O)(CF_2)_3CF_3]_2O$ (1) и $[Ph_3SbOC(O)(CF_2)_5CF_3]_2O$ (2), строение которых определено методом рентгеноструктурного анализа. Кристаллы комплексов 1, 2 состоят из биядерных молекул с угловым фрагментом Sb–O–Sb, причем в кристаллах 1 присутствуют два типа кристаллографически независимых молекул с углами SbOSb 145,1(3) и 145,6(3)°. В 2 аналогичный угол составляет 146,8(5)°.

Список источников

- 1. Grigsby E.W.J., Hart R.D., Raston C.L. et al. // Aust. J. Chem. 1997. V. 50, No. 6. P. 675. DOI: 10.1071/C96042
- 2. Tiekink E.R.T. // J. Organomet. Chem. 1987. V. 333, No. 2. P. 199. DOI: 10.1016/0022-328X(87)85152-5
- 3. *Ouchi A.*, *Sato S.* // Bull. Chem. Soc. Jap. 1988. V. 61, No. 5. P. 1806. DOI: 10.1246/bcsj.61.1806
- 4. *Шарутин В.В., Пакусина А.П., Егорова И.В. и др.* // Коорд. химия. 2008. Т. 34, № 3. С. 181. EDN: IJKFJX
- 5. *Шарутин В.В., Шарутина О.К., Пакусина А.П., Смирнова С.А.* // Журн. неорган. химии. 2009. Т. 54, № 10. С.1705. EDN: KWIUSL
- 6. Gibbons M.N., Blake A.J., Sowerby D.B. // J. Organomet. Chem. 1997. V. 543, No. 2. P. 217. DOI: 10.1016/S0022-328X(97)00208-8
- 7. *Шарутин В.В., Пакусина А.П., Насонова Н.В. и др.* // Коорд. химия. 2002. Т. 28, № 7. С. 506. EDN: ZATRQY
- 8. *Balazs L., Breunig H.J., Ghesher I., Lork E. //* J. Organometal. Chem. 2002. V. 648, No. 1. P. 33. DOI: 10.1016/S0022-328X(01)01467-X
- 9. *Taylor M.J.*, *Baker L.-J.*, *Rickard C.E.F.*, *Surman P.W.J.* // J. Organomet. Chem. 1995. V. 498, No. 1. P. C14. DOI: 10.1016/0022-328X(95)05555-4
 - 10. Bordner J., Andrews B.C., Long G.G. // Cryst. Struct. Comm. 1974. V. 3, No. 1. P. 53.
- 11. Ferguson G., Ridley D.R. // Acta crystallogr. 1973. V. B29, No. 10. P. 2221. DOI: 10.1107/S0567740873006370
- 12. Старикова З.А., Щеголева Т.М., Трунов В.К., Покровская И.Е. // Кристаллография. 1978. Т. 23, № 5. С. 969.
- 13. Gibbons M.N., Sowerby D.B. // J. Organomet. Chem. 1998. V. 555, No. 2. P. 271. DOI: 10.1016/S0022-328X(97)00759-6
- 14. Grigsby E.W.J., Hart R.D., Raston C.L. et al. // Aust. J. Chem. 1997. V. 50, No. 6. P. 675. DOI: 10.1071/C96042
- 15. *Шарутин В.В., Пакусина А.П., Платонова Т.П. и др. //* Журн. общ. химии. 2004. Т. 74, № 2. С. 238. EDN: PBCRSL
- 16. *Шарутин В.В., Егорова И.В., Павлушкина И.И. и др.* // Коорд. химия. 2003. Т. 29, № 2. С. 89. EDN: OOFNXZ
- 17. *Шарутин В.В., Шарутина О.К., Насонова Н.В. и др.* // Изв. РАН. Сер. хим. 1999. № 12. C. 2346. EDN: SFWPCR

- 18. *Preut H.*, *Ruther R.*, *Huber F.* // Acta Crystallogr. 1986. V. C42. No. 9. P. 1154. DOI: 10.1107/S010827018609306X
- 19. Ruther R., Huber F., Preut H. // J. Organomet. Chem. 1988. V. 342, No. 2. P.185. DOI: 10.1016/S0022-328X(00)99456-7
- 20. *Шарутин В.В.* // Вестник ЮУрГУ. Серия: Химия. 2024. Т. 16, № 4. С. 86. DOI: 10.14529/chem240407
- 21. *Шарутин В.В.*, *Шарутина О.К.*, *Ефремов А.Н. и др.* // Журн. общ. химии. 2019. Т. 89, № 1. С. 89. EDN: YSTUZF
- 22. *Шарутин В.В., Сенчурин В.С., Шарутина О.К., Чагарова О.В.* // Журн. неорган. химии. 2012. Т. 57, № 8. С. 1149. EDN: OZLDRJ
 - 23. Cambridge Crystallographic Data Center, 2023.
- 24. *Шарутина О.К., Шарутин В.В.* Молекулярные структуры органических соединений сурьмы (V): моногр. Челябинск: Издательский центр ЮУрГУ. 2012. 395 с.
- 25. Cordero B., Gómez V., Platero-Prats A.E. et al. // Dalton Trans. 2008. V. 21. P. 2832. DOI: 10.1039/B801115J
- 26. Bruker. SMART and SAINT-Plus. Versions 5.0. Data Collection and Processing Software for the SMART System. Bruker AXS Inc., Madison, Wisconsin, USA, 1998.
- 27. Bruker. SHELXTL/PC. Versions 5.10. An Integrated System for Solving, Refining and Displaying Crystal Structures from Diffraction Data. Bruker AXS Inc., Madison, Wisconsin, USA, 1998.
- 28. Dolomanov O.V., Bourhis L.J., Gildea R.J. et al. // J. Appl. Cryst. 2009. V. 42. P. 339. DOI: 10.1107/S0021889808042726
- 29. Ferguson G., Hawley D.M. // Acta Cryst. 1974. V. B30, No. 1. P. 103. DOI: 10.1107/S0567740874002299
- 30. Millington P.L., Sowerby D.B. // J. Chem. Soc., Dalton Trans. 1992. P. 1199. DOI: 10.1039/DT9920001199
- 31. *Bricklebank N., Godfrey S.M., Lane H.P. et al.* // J. Chem. Soc., Dalton Trans. 1994. P. 1759. DOI: 10.1039/DT9940001759
- 32. *Lane H.P.*, *Godfrey S.M.*, *McAuliffe C.A. et al.* // J. Chem. Soc., Dalton Trans. 1994. P. 3249. DOI: 10.1039/DT9940003249
- 33. *Шарутин В.В.* // Вестник ЮУрГУ. Серия «Химия». 2024. Т. 16, № 4. С. 191. DOI: 10.14529/chem240419
 - 34. Batsanov S.S. // Inorganic Materials. 2001. V. 36, No. 9. P. 871. DOI: 10.1023/A:1011625728803

Артемьева Екатерина Владимировна – старший преподаватель кафедры теоретической и прикладной химии, Южно-Уральский государственный университет, Челябинск, Россия. E-mail: artemevaev@susu.ru

Гремицких Светлана Андреевна — студент группы ET–241, кафедра теоретической и прикладной химии, Южно-Уральский государственный университет, Челябинск, Россия. E-mail: gremickih2001@mail.ru

Шарутина Ольга Константиновна – доктор химических наук, профессор, заведующий кафедрой теоретической и прикладной химии, Южно-Уральский государственный университет, Челябинск, Россия. E-mail: sharutinaok@mail.ru

Шарутин Владимир Викторович – доктор химических наук, профессор, главный научный сотрудник управления научной и инновационной деятельности, Южно-Уральский государственный университет, Челябинск, Россия. E-mail: sharutin50@mail.ru

Cmamья поступила в редакцию 7 апреля 2025 г. The article was submitted 7 April 2025.